# République Tunisienne Ministère de l'Enseignement Supérieur et de la Recherche Scientifique Direction Générale des Etudes Technologiques

### Concours de Recrutement des Technologues Spécialité : Génie Electrique Session 2020

## **Epreuve de Technologie : Partie Electronique**

Durée: 3 Heures | Coefficient : 0,5

## Recommandations Générales

- Si au cours de l'épreuve, le candidat détecte ce qui lui semble être une erreur d'énoncé, il le signale dans sa copie et poursuit sa composition en indiquant précisément les raisons des initiatives qu'il a été amené à prendre.
- L'épreuve se compose de plusieurs parties indépendantes. A l'intérieur de chaque partie, de nombreuses questions sont également indépendantes.
- <u>Les candidats sont priés de rédiger les différentes parties du problème sur des feuilles séparées et clairement repérées</u>. Il leur est rappelé qu'ils doivent utiliser les notations propres au sujet, présenter clairement les calculs et dégager où encadrer tous les résultats. Tout résultat incorrectement exprimé ne sera pas pris en compte. En outre, les correcteurs leur sauront gré d'écrire lisiblement et de soigner la qualité de leur copie.

## Organisation du sujet

Le sujet comporte un dossier technique : Présentation du système et quatre grandes parties : A, B, C, D. Toutes les parties sont indépendantes

Partie A: Principe physique de mesure Partie B: Chaine de transmission Tx Partie C: Chaine de réception Rx

Partie D : Conversion analogique numérique

### **Documents fournis aux candidats:**

Nombre de pages Enoncé	Documents réponses	Annexes
17 (pages) y compris la page de garde	3 Pages	Annexe 1 (1 page) Annexe 2 (1 pages)
		Annexe 3 (2 pages)

## Saturomètre de pouls

#### I. Présentation

## I.1 Présentation générale

#### **Définition**

Les oxymètres de pouls, ou saturomètre, sont utilisés en médecine pour déterminer le taux d'oxygène dans le sang. Le saturomètre permet de mesurer la saturation en oxygène périphérique  $(SpO_2)$ , qui reflète l'efficacité du système cardio-pulmonaire.



## Principe de la mesure

Dans le sang, l'oxygène n'existe pas sous forme libre, mais se combine avec la déoxy-hémoglobine Hb pour former l'oxyhémoglobine  $HbO_2$ , selon l'équilibre :

$$Hb + O_2 = HbO_2$$

La technique d'oxymétrie de pouls cherche à déterminer la saturation en oxygène (**SpO<sub>2</sub>**: **saturation pulsée**), c'est-à-dire la proportion d'hémoglobine liée à l'oxygène par rapport à la quantité d'hémoglobine totale. Ce rapport est déterminé par spectrométrie, en exploitant la différence entre les spectres d'absorption de **Hb** et **HbO<sub>2</sub>** (**Annexe 1**).

Le principe de base de fonctionnement de cet appareil repose sur l'émission de deux lumières (rouge et infrarouge), de longueur d'onde respectivement 660 nm et 940 nm, à travers le doigt. L'absorption de la lumière rouge et infrarouge sera variable selon qu'elle rencontrera de l'hémoglobine réduite (**Hb** non oxygénée) ou de l'oxyhémoglobine (**HbO**<sub>2</sub>: **Hb** riche en oxygène). L'oxymètre de pouls calcule la saturation du flux pulsatile, en éliminant les valeurs correspondant au sang veineux et capillaire.

Cet appareil équipé d'un photo-détecteur qui reçoit la lumière passante à travers le doigt et la restitue au moniteur qui l'analyse et calcule le rapport lumière rouge / lumière infrarouge avant de mettre en évidence la valeur de la saturation en oxygène (**SpO**<sub>2</sub> en pourcent).

### Valeurs normalisées du saturation (SpO<sub>2</sub> en pourcent).

Hémoglobine oxygénée en %	Saturation en oxygène
94 à 98 %	Correcte
90 à 93 %	Limite
< 90 %	Insuffisante = désaturation

#### La pulsation du sang

Les artères contiennent plus de sang pendant la systole que pendant la diastole, et par conséquent, leur diamètre augmente en raison de l'augmentation de la pression. Cet effet se produit seulement dans les artères et les artérioles mais pas dans les veines.

L'absorption de la lumière dans les tissus par les artères augmente pendant la systole, principalement en raison de la majorité de substances absorbantes (hémoglobine).

Cette alternance d'absorbance totale nous permet de faire la différence entre l'absorbance de la composante **pulsatile** du sang artériel (composante AC) et l'absorbance de la composante **non pulsatiles** résultante du sang veineux, de la peau et des tissus (composante DC). L'intensité de la lumière transmise varie de  $I_H$  (maximum) à  $I_L$  (minimum) dans un délai d'un cycle cardiaque (Figure 1).

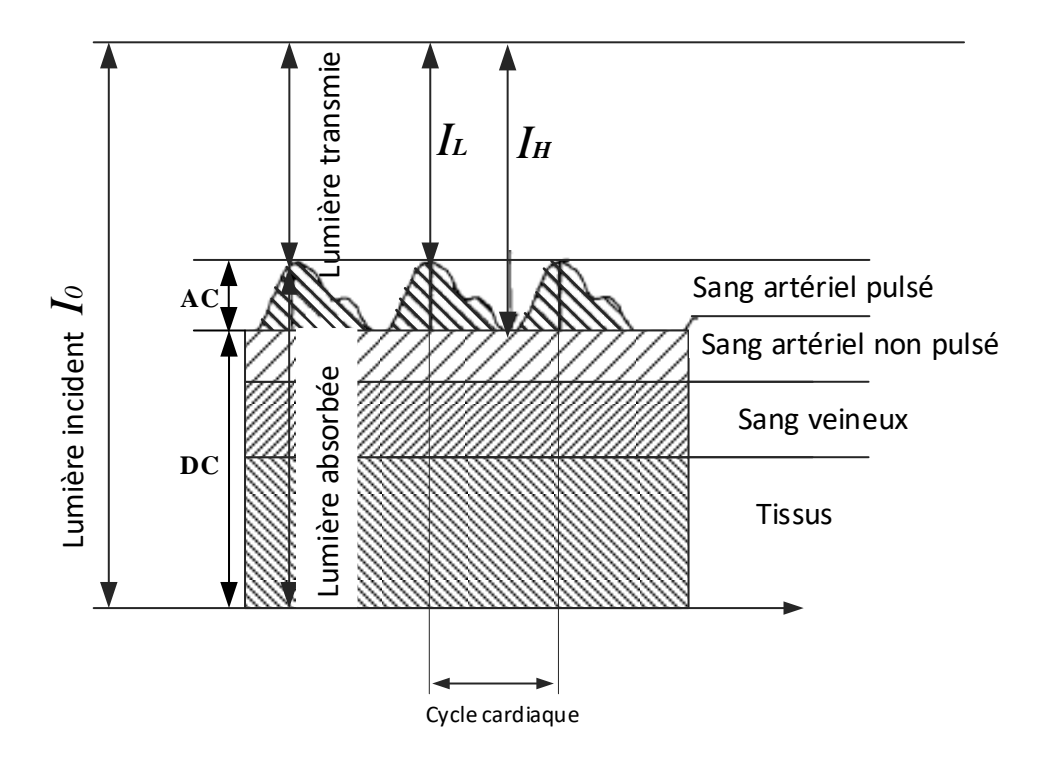


Figure 1 : Variation de l'atténuation de la lumière par les tissus, illustrant l'effet rythmique de la pulsation artérielle

## I.2 Schéma synoptique

Le circuit AFE4403 est une solution analogique complète (AFE : Analog Front End) destinée aux applications d'oxymètre de pouls. Le circuit se compose d'un canal de réception à faible bruit, d'un canal de transmission à LED, et une partie de diagnostic pour la détection des défauts des capteurs. Pour faciliter les exigences de synchronisation et fournir l'horloge au circuit, un oscillateur est également intégré qui fonctionne à partir d'un cristal externe. Le circuit communique avec un microcontrôleur externe ou un processeur hôte en utilisant une interface SPI (Figure 2).

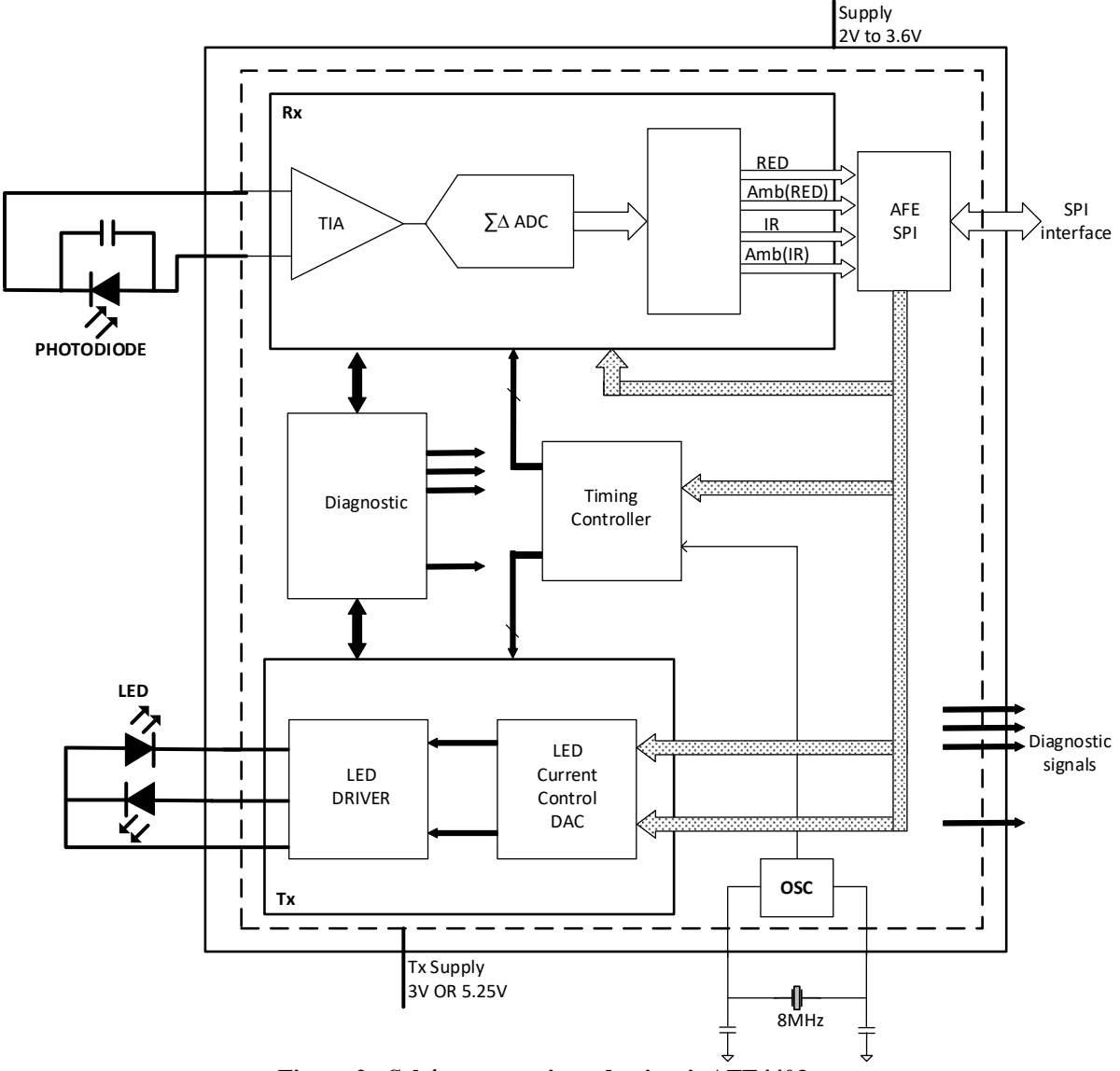


Figure 2 : Schéma synoptique du circuit AFE4403

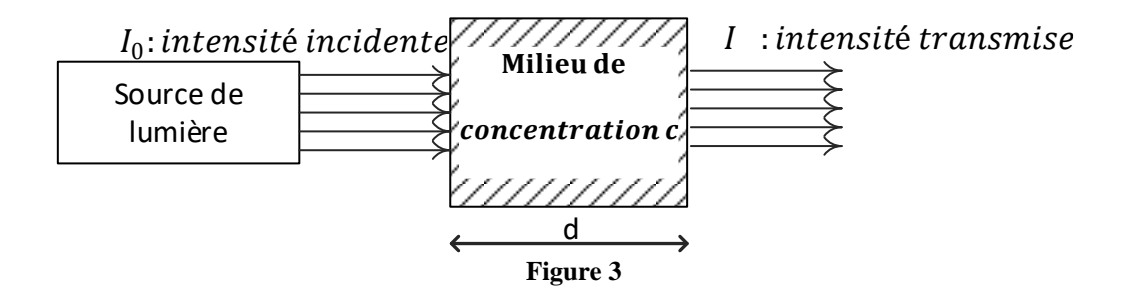
## II. Etude du système

L'étude que nous allons réaliser va nous amener à analyser le fonctionnement de certaines parties du système. Ce sujet est constitué de quatre parties totalement indépendantes, qui peuvent être traitées dans un ordre quelconque :

- Partie A : Principe physique de mesure.
- Partie B : Chaine de transmission Tx.
- Partie C : Chaine de réception Rx.
- Partie D : Conversion analogique numérique.

## A. Principe physique de mesure

Si une lumière incidente monochromatique d'une intensité  $I_0$  pénètre dans un milieu de concentration  $\mathbf{c}$  et d'épaisseur  $\mathbf{d}$ , une partie de cette lumière est transmise à travers le milieu, tandis qu'une autre partie est absorbée. L'intensité I de la lumière traversant le milieu diminue avec la distance  $\mathbf{d}$  selon une loi de physique universelle, appelée loi de Beer-Lambert (Figure 3).



Si on dispose de deux composants (espèces) absorbants appelés  $HbO_2$  et Hb de concentrations respectivement  $c_0$  et  $c_r$  exposées à deux sources de longueurs d'onde  $\lambda_1$  et  $\lambda_2$  d'intensité de lumière incidente respectivement  $I_{01}$  et  $I_{02}$ .

On définit la **transmittance** T de la lumière traversant un milieu avec une substance absorbante comme le rapport entre la lumière transmise I et la lumière incidente  $I_0$ .

$$T = \frac{I}{I_0} = 10^{-\varepsilon(\lambda).c.d}$$

- On définit l'**absorbance**  $A(\lambda)$  comme la valeur négative du logarithme de la transmittance de la lumière.

$$A(\lambda) = -\log_{10}(T) = \varepsilon(\lambda). c. d$$

Les intensités transmises des lumières  $I_1$  et  $I_2$  pour les longueurs d'ondes  $\lambda_1$  et  $\lambda_2$  sont :

$$I_1 = I_{01} \cdot 10^{-(\varepsilon_{01} \cdot c_0 + \varepsilon_{r1} c_r) \cdot d}$$
 pour  $\lambda_1$   
 $I_2 = I_{02} \cdot 10^{-(\varepsilon_{02} \cdot c_0 + \varepsilon_{r2} c_r) \cdot d}$  pour  $\lambda_2$ 

Sachant que :  $c_0$  : Concentration de l'hémoglobine  $HbO_2$ 

 $oldsymbol{c_r}$  : Concentration de l $^{'}$ hémoglobine réduite Hb

 $\boldsymbol{\varepsilon_{01}}$ : Coefficient d'absorption de l'hémoglobine  $HbO_2$  à  $\lambda_1$ 

 $oldsymbol{arepsilon}_{r1}:$  Coefficient d<sup>'</sup>absorption de l<sup>'</sup>hémoglobine réduite Hb à  $\lambda_1$ 

 $\boldsymbol{\varepsilon_{02}}$ : Coefficient d'absorption de l'hémoglobine Hb $O_2$  à  $\lambda_2$ 

 $\boldsymbol{\varepsilon_{r2}}$ : Coefficient d'absorption de l'hémoglobine réduite Hb à  $\lambda_2$ 

#### A.1.1. Calculer les absorbances $A(\lambda_1)$ et $A(\lambda_2)$ .

On définit le rapport  $R = \frac{A(\lambda_1)}{A(\lambda_2)}$ , avec  $A(\lambda_1)$  et  $A(\lambda_2)$  représentent respectivement les absorbances pour les longueurs d'ondes  $\lambda_1$  et  $\lambda_2$ .

A.1.2. Montrer que 
$$R = \frac{\varepsilon_{01}c_0 + \varepsilon_{r1}c_r}{\varepsilon_{02}c_0 + \varepsilon_{r2}c_r}$$

A.1.3. En déduire que la concentration de l'hémoglobine réduite  $c_r=c_0.rac{R.arepsilon_{02}-arepsilon_{01}}{arepsilon_{r1}-R.arepsilon_{r2}}$  .

Sachant que la saturation en oxygène  $SpO_2 = \frac{c_0}{c_0 + c_r}$ .

A.1.4. Montrer que la saturation en oxygène 
$$SpO_2 = \frac{R.\varepsilon_{r2} - \varepsilon_{r1}}{R.(\varepsilon_{r2} - \varepsilon_{02}) - (\varepsilon_{r1} - \varepsilon_{01})}$$
.

La Technique d'oxymétrie se base sur la mesure de l'absorbance pour deux longueurs d'ondes  $\lambda_1=660nm$  et  $\lambda_2=940nm$ .

Les coefficients d'absorption  $\varepsilon_0$  et  $\varepsilon_r$  changent avec les deux longueurs d'onde qui sont déjà notés respectivement  $\varepsilon_{01}$ ,  $\varepsilon_{r1}$ ,  $\varepsilon_{02}$  et  $\varepsilon_{r2}$ .

## A.1.5. A partir des spectres Hb et $HbO_2$ données en annexe 1, compléter le tableau du document réponse A.1.5 en précisant les valeurs approchées de $\varepsilon_{01}$ , $\varepsilon_{r1}$ , $\varepsilon_{02}$ et $\varepsilon_{r2}$ .

Longueur d'onde λ nm	Coefficients d'absorption $(cm^{-1}/M)$		
	Hb	$HbO_2$	
	$oldsymbol{arepsilon}_0$	$oldsymbol{arepsilon_r}$	
$\lambda_1 = 660 \text{nm}$			
$\lambda_2 = 940$ nm			

#### A.1.6. Calculer les valeurs du rapport des absorbances R dans les cas suivants :

$$SpO_2 = 0$$
 et  $SpO_2 = 1$ 

## **B.** Chaine de transmission (Tx)

Le schéma de la figure 4 représente la chaine de transmission Tx, elle est constituée d'un pont en H (H-Bridge) qui commande les diodes (LED1 et LED2) à travers un driver. Les LEDs sont commandées alternativement par le pont H-bridge.

L'intensité du courant  $I_{LED}$  qui passe dans les diodes (LED1 et LED2) est ajustée par un DAC 8 bits.

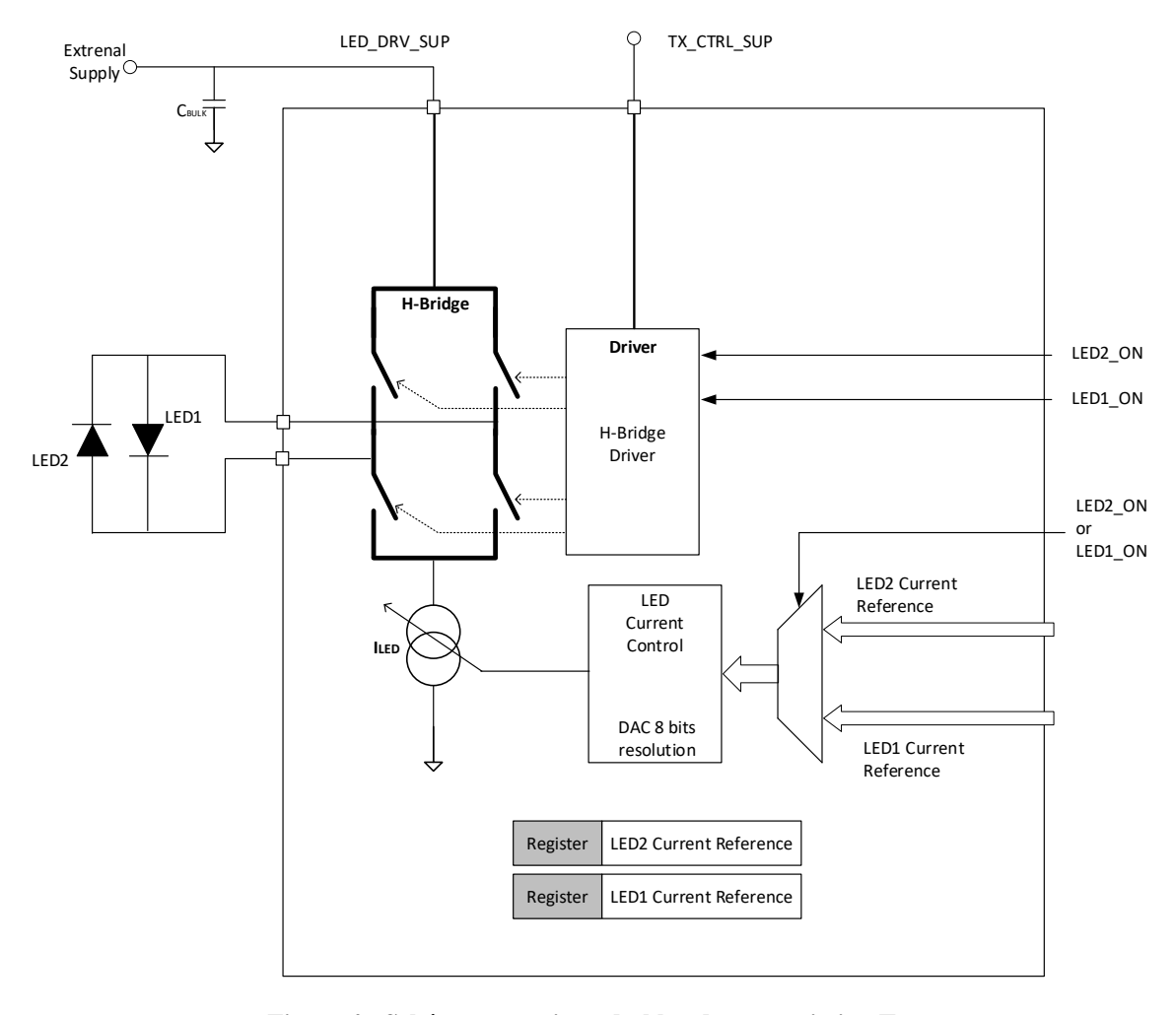
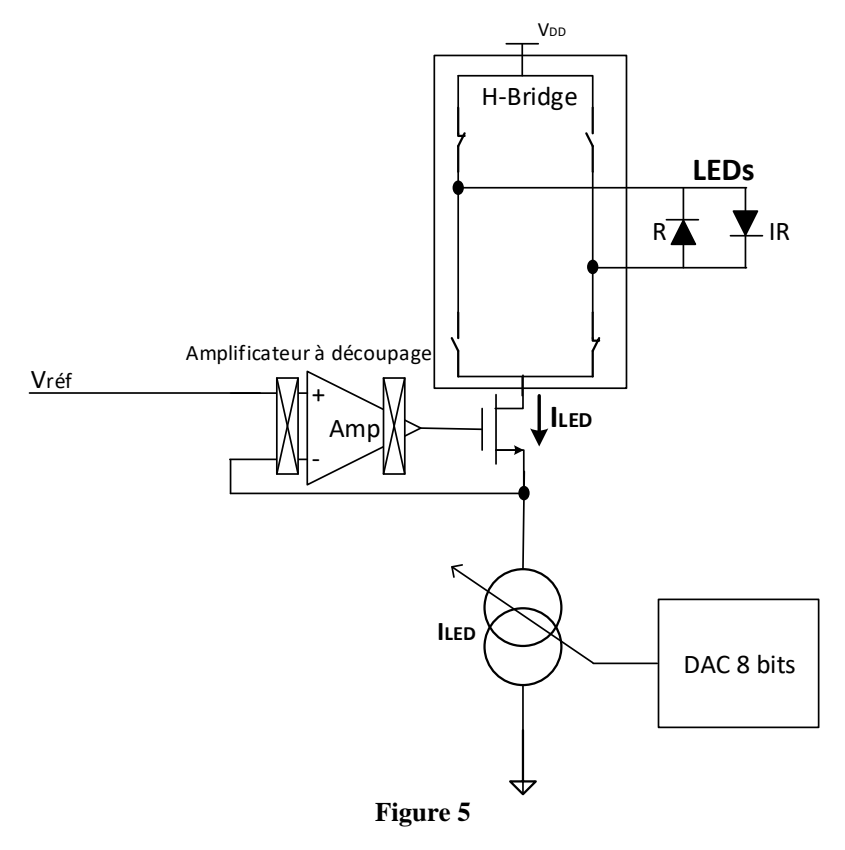


Figure 4 : Schéma synoptique du bloc de transmission Tx

Le schéma synoptique de la figure 5 représente un diagramme de la chaine de transmission Tx, faisant apparaître un amplificateur à découpage (chopper) pour réduire les bruits.



## B.1. Amplificateur à découpage (chopper)

Le bruit est un gros problème dans les amplificateurs d'instrumentation pour les applications médicales, les amplificateurs à découpage sont également une pratique courante dans ce domaine. La figure 6 représente le schéma simplifié d'un amplificateur à découpage, avec m(t) est un signal de découpage de période  $T_0$ .

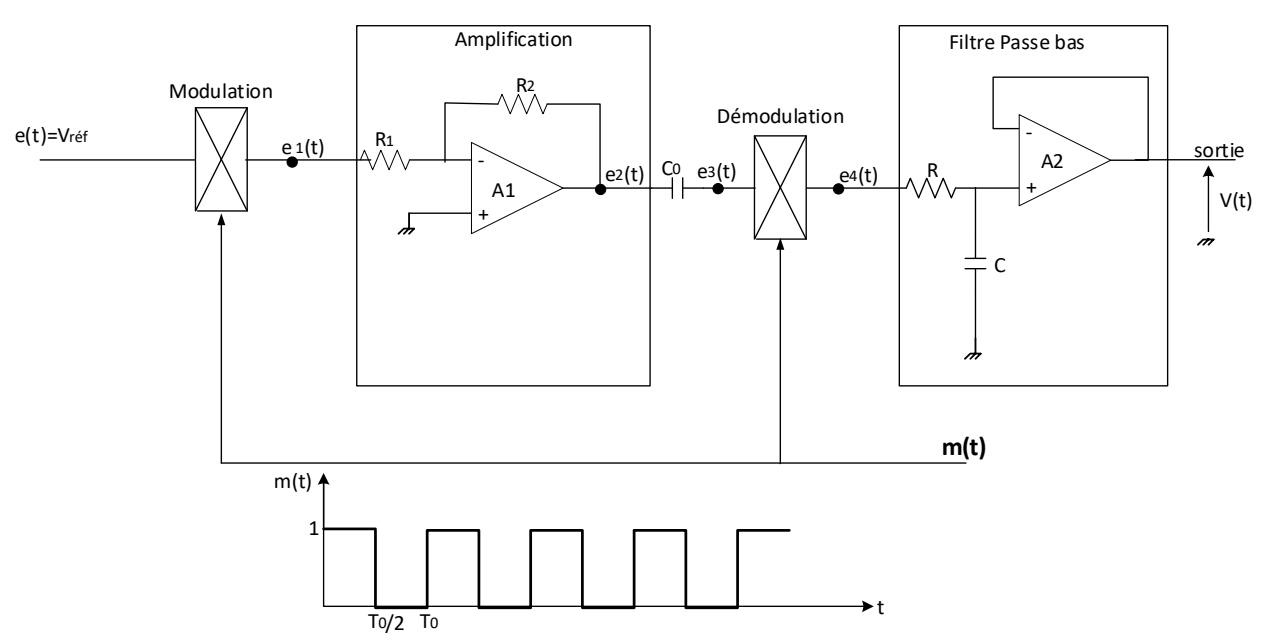


Figure 6 : Schéma de principe d'un amplificateur à découpage

#### **Modulation**

- B.1.1. Représenter la forme d'onde du signal  $e_1(t)$ .
- B.1.2. En exploitant la décomposition en série de Fourier (DSF Annexe 2) montrer que le signal  $e_1(t)$  peut s'écrire par l'expression suivante :

$$\mathbf{e}_1(\mathbf{t}) = \mathbf{e}(\mathbf{t}) \left[ \frac{1}{2} + \frac{2}{\pi} \sin \omega_0 t + \frac{2}{3\pi} \sin 3\omega_0 t + \frac{2}{5\pi} \sin 5\omega_0 t + \cdots \right]$$

#### Amplification.

La figure 7 représente le montage équivalent d'un inverseur présentant les tensions de décalage  $v_{os}$  et de dérive  $\Delta v_{os}$  supposées constantes.

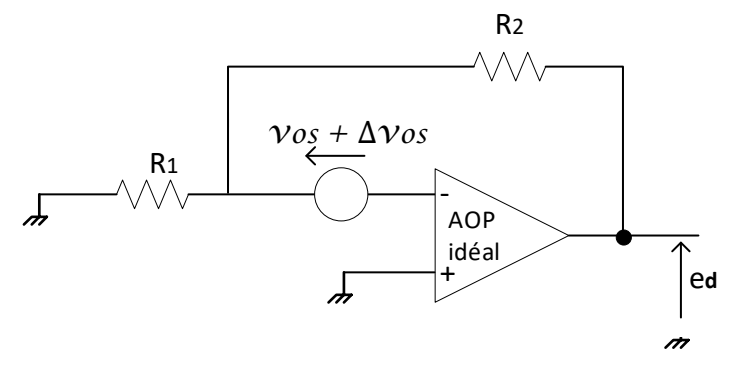


Figure 7

Supposons que  $v_{os}$  est la tension de décalage à l'entrée et  $\Delta v_{os}$  est la tension de dérive due à la température de l'amplificateur A1.

B.1.3. Montrer que l'expression de  $e_d = k.v_{os} + k.\Delta v_{os}$ , Trouvez l'expression de k.

La bande passante de A1 est étroite pour éliminer les harmoniques de  $e_1(t)$ .

B.1.4. Montrer que l'expression du signal  $e_2(t) = -K_1 e(t) \left[ \frac{1}{2} + \frac{2}{\pi} \sin \omega_0 t \right] + k. \nu_{os} + k. \Delta \nu_{os}$  Trouvez l'expression de  $K_1$ .

B.1.5. La capacité de liaison  $C_0$  permet de bloquer la composante continue, déduire l'expression de  $e_3(t)$ .

#### Démodulation

- B.1.6. Trouver l'expression du signal  $e_4(t)$ .
- B.1.7. Sachant que le filtre passe-bas RC atténue tous les signaux fréquentiels et ne garde que la composante continue de  $e_{\Delta}(t)$ , donner l'expression de la tension de sortie V(t).

## C. Chaine de réception Rx

La chaine de réception de la figure 8 est composée d'un amplificateur différentiel à transimpédance qui convertie le courant de la photodiode en une tension adaptée. La résistance de contreréaction  $R_F$  de l'amplificateur est programmable pour supporter un large intervalle du courant de la photodiode. La lumière provenant des LEDs est réfléchie par les différents constituants du corps comme (le sang, le tissu, ...) et sont reçue par la photodiode.

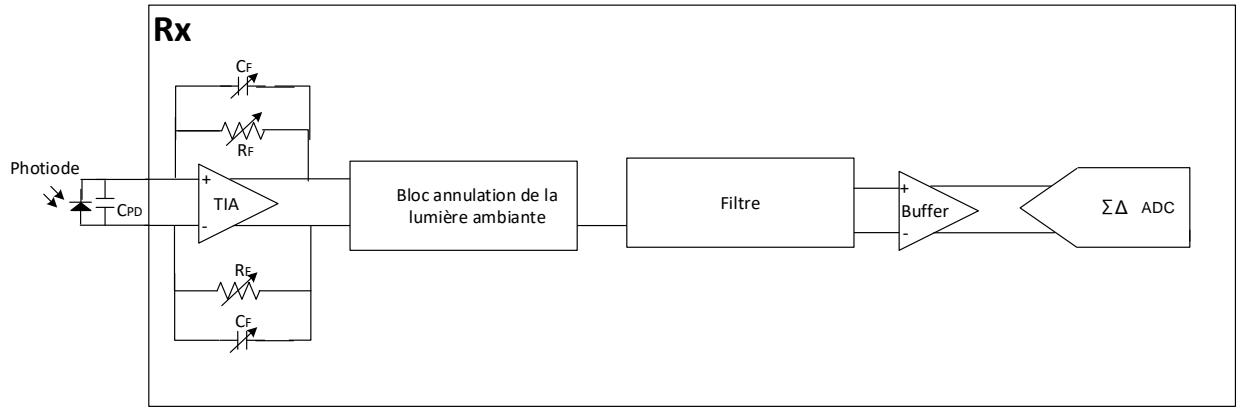


Figure 8 : Bloc fonctionnel de la chaine de réception Rx

## C.1. Etude de la photodiode

La photodiode est un capteur à flux lumineux, elle se comporte comme un générateur du courant où  $i = S_d \cdot \varphi$  avec  $\varphi$  est le flux lumineux incident exprimé en W et  $S_d$  est la sensibilité propre de la photodiode exprimée en A/W et supposée constante.

Le schéma du circuit électrique équivalent de la photodiode est représenté à la figure 9, où  $\boldsymbol{C}$  est la capacité équivalente de sa jonction polarisée en inverse. On suppose que le flux incident  $\boldsymbol{\varphi} = \boldsymbol{\varphi}_0 + \boldsymbol{\varphi}_I \cos \boldsymbol{\omega} \cdot \boldsymbol{t}$ , a une composante continue  $\boldsymbol{\varphi}_0$  et une composante variable en fonction du temps.

On choisit comme mesurande l'amplitude  $\emptyset_I$  de la composante variable de  $\varphi$  et comme grandeur de sortie l'amplitude  $V_I$  de la composante alternative de la tension v apparaissant aux bornes de la résistance de polarisation R.

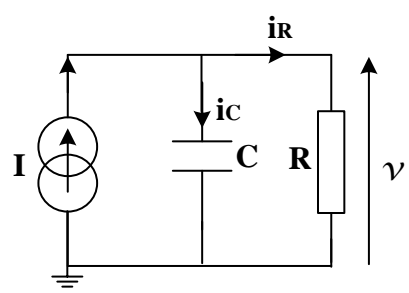


Figure 9 : Circuit électrique équivalent de la photodiode

C.1.1. Montrer que  $V_I = \frac{S_d \cdot R}{1 + iRC\omega} \emptyset_I$ .

On pose  $f_c = \frac{1}{2\pi RC}$  la fréquence de coupure du montage.

C.1.2. Exprimer l'amplitude  $V_I$  en fonction de  $S_d$ ,  $\emptyset_I$ , R,  $f_c$  et f.

C.1.3. Exprimer la sensibilité S(f) de la photodiode en fonction de  $S_d$ ,  $f_c$  et f.

C.1.4. Déterminer la sensibilité de la photodiode en régime statique.

C.1.5. Déterminer la sensibilité de la photodiode pour les fréquences  $f_c$ ,  $2f_c$  et  $10f_c$ .

La cellule de détection utilisée dans la chaine de réception est SFH7050-OSRAM (Annexe 3).

C.1.6. Compléter le tableau du document réponse C.1.6 pour C = 5pF et  $R = 180K\Omega$ .

## C.2. Amplificateur à Transimpédance TIA (convertisseur courant-tension)

Le TIA amplificateur à transimpédance est un convertisseur courant-tension, basé sur l'utilisation d'un amplificateur différentiel à transconductance OTA avec une contreréaction négative. Le premier étage du TIA convertie le courant de la photodiode PD en une tension de sortie différentielle (Figure 10).

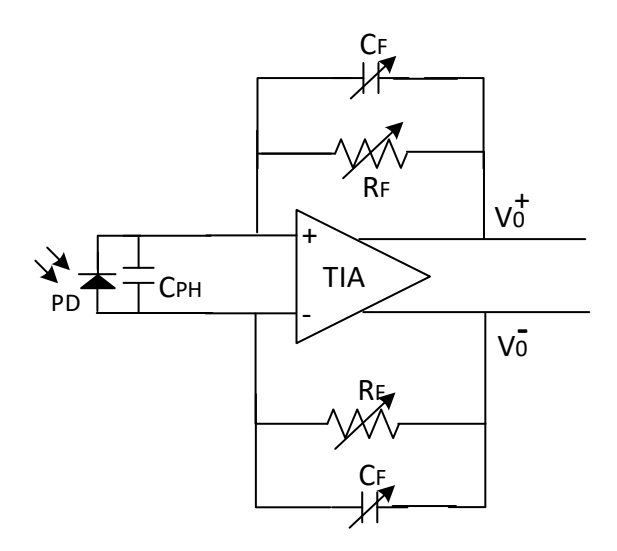


Figure 10: Circuit TIA

On considère le montage de la figure 11.

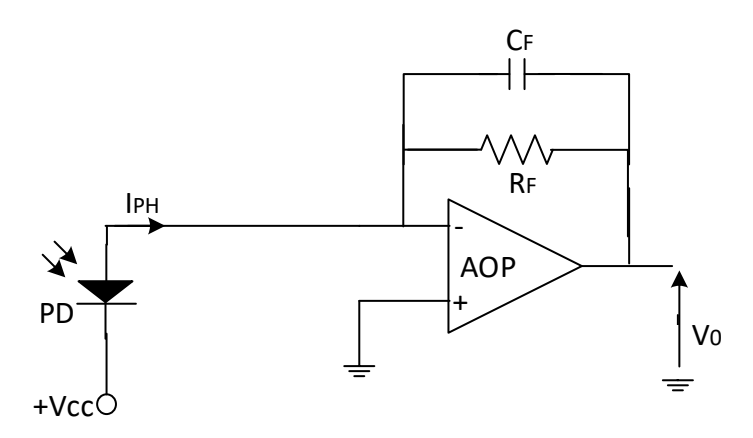


Figure 11: Convertisseur courant-tension

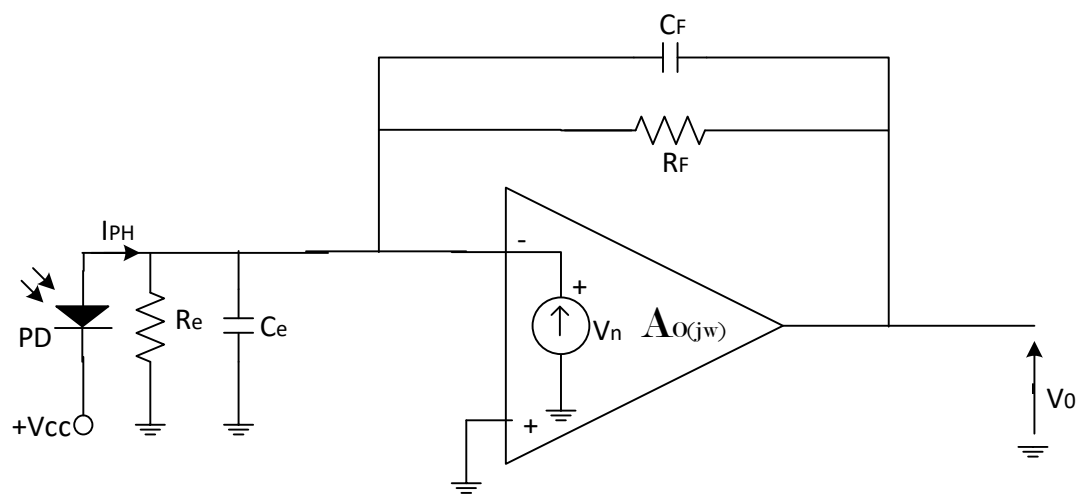
C.2.1. On suppose que l'AOP est idéal, calculer la fonction de transfert équivalente  $T(jf) = \frac{V_0}{I_{PH}}(jf)$ .

#### C.2.2. Trouver l'expression de la phase $\theta$ de T(jf).

Pour étudier l'effet du bruit sur la stabilité du TIA (TIA Noise) on ajoute une source de tension  $V_n$  à l'amplificateur à transimpédance TIA, la structure du montage de la figure 12, représente un schéma modifié du convertisseur courant-tension. Elle est constituée par un réseau de contreréaction  $R_f$ ,  $C_f$  et un réseau d'entrée  $R_e$ ,  $C_e$ .

 $R_e$ : Représente la résistance d'entrée équivalente du montage, avec  $R_e = R_{CM}//R_{DM}//R_{PH}$  ( $R_{CM}$  et  $R_{DM}$  représentent respectivement les résistances en mode commun et différentiel de l'AOP et  $R_{PH}$  représente la résistance de la photodiode).

 $C_e$ : Représente la capacité d'entrée équivalente du montage, avec  $C_e = C_{CM} + C_{DM} + C_{PH}$  ( $C_{CM}$  et  $C_{DM}$  représentent respectivement les capacités en mode commun et différentiel de l'AOP et  $C_{PH}$  représente la capacité de la photodiode).



Figure

12: Convertisseur courant-tension avec imperfection

Sachant que:

 $A_0(i\omega)$  représente l'amplification en boucle ouverte de l'AOP.

 $\beta$  représente le facteur de contre réaction du montage, il est égale à  $\frac{1}{1 + \frac{Z_{IN}(j\omega)}{Z_{RE}(j\omega)}}$ .

Avec  $Z_{IN}(j\omega)$  impédance complexe d'entrée.

 $Z_{BF}(j\omega)$  Impédance complexe de contre réaction.

C.2.3. Ecrire l'expression de la fonction de transfert du bruit (Noise Gain)  $NG(j\omega) = \frac{V_o(j\omega)}{V_n(j\omega)}$  en fonction de  $Z_{IN}(j\omega)$  et  $Z_{BF}(j\omega)$ .

C.2.4. Montrer que 
$$V_0(j\omega) = \frac{R_f + R_e}{R_e} \cdot \frac{1 + \frac{R_f \cdot R_e}{R_f + R_e} (C_f + C_e) j\omega}{1 + jR_f C_f \omega} V_n$$

On considère que  $R_e \gg R_f$ .

C.2.5. Ecrire une approximation de  $V_0(j\omega)$ .

C.2.6. On note  $f_z$  la fréquence relative au zéro de la fonction de transfert du bruit  $NG(j\omega)$ , trouver l'expression de cette fréquence.

C.2.7. On note  $f_p$  la fréquence relative au pôle de la fonction de transfert du bruit  $NG(j\omega)$ , trouver l'expression de cette fréquence.

## C.3. Amplificateur à Transconductance OTA

La figure 13 représente une implémentation de l'amplificateur opérationnel de transconductance différentielle simple OTA (structure de base) avec deux sorties, une pour chaque branche. La première branche est composée par les transistors MOS M1 et M3, La deuxième branche est composée par M2 et M4. Les deux branches sont polarisées par le transistor M7.

Pour les tensions d'entrée  $V_{in1}$  et  $V_{in2}$ , correspondent respectivement les courants de sorties  $I_0^-$  et  $I_0^+$ .

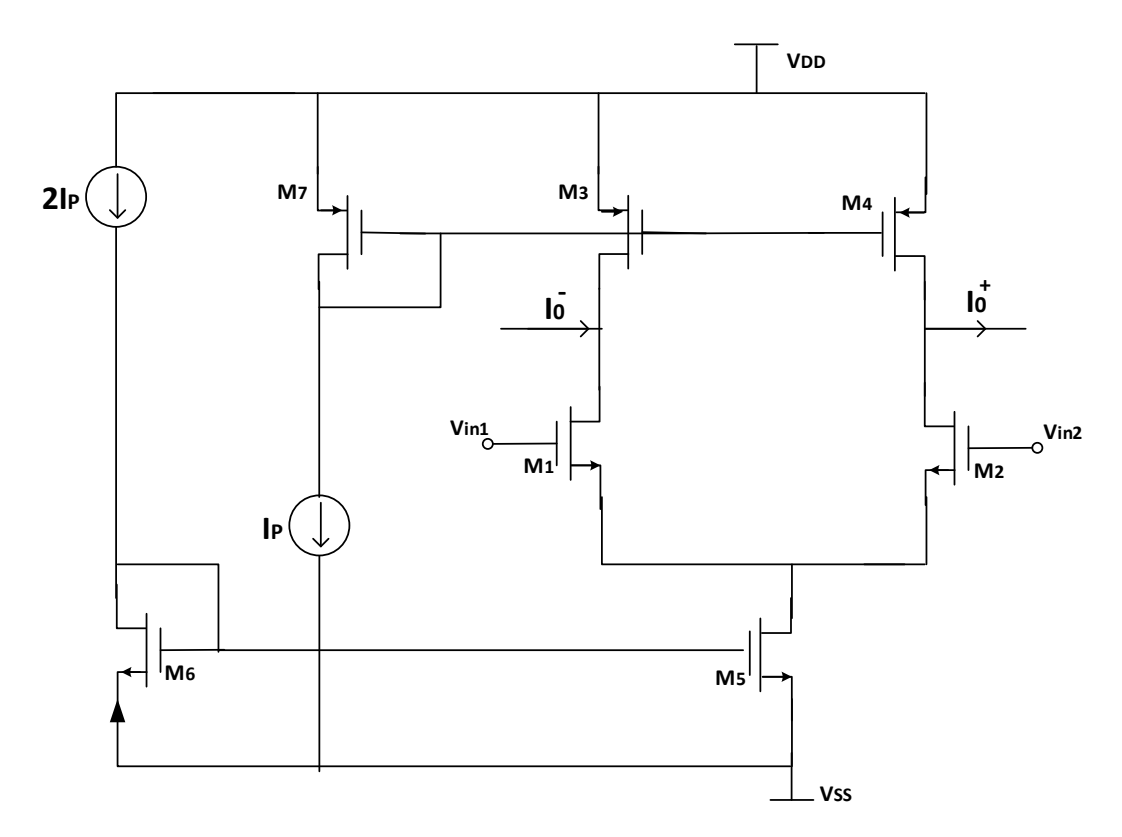


Figure 13 : Amplificateur différentiel de transconductance simple

En ajoutant une capacité C entre les nœuds de sorties  $V_{out}^+$  et  $V_{out}^-$ , le modèle équivalent de l'OTA différentiel en mode AC est donné par la figure 14.

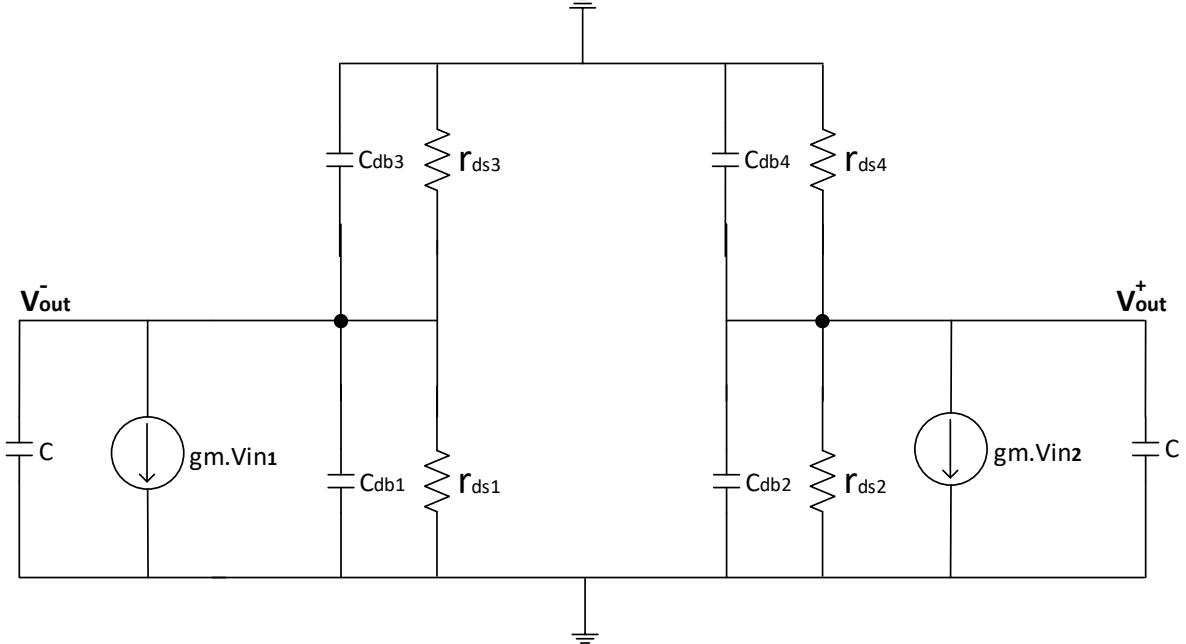


Figure 14 : modèle petit signal de l'OTA

On considère que les transistors  $M_1, M_2$  ,  $M_3$  et  $M_4$  sont identiques.

C.3.1. Justifier l'utilisation de la simplification 
$$g_0 = \frac{1}{r_{ds1}} + \frac{1}{r_{ds3}} = \frac{1}{r_{ds2}} + \frac{1}{r_{ds4}}$$

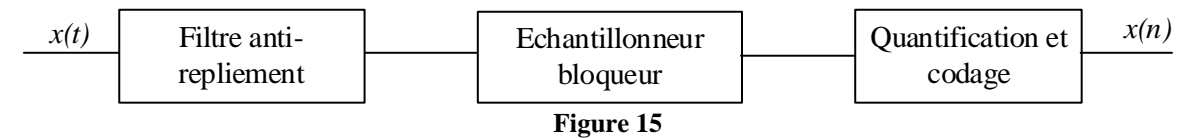
$$C_p = C_{db1} + C_{db3} = C_{db2} + C_{db4}$$

Sachant que  $V_{out} = V_{out}^+ - V_{out}^-$  et  $V_{in} = V_{in2} - V_{in1}$ .

- C.3.2. Montrer que la fonction de transfert  $F(p) = \frac{V_{out}}{V_{in}} = \frac{g_m}{g_0 + j\omega(C + C_p)}$ .
- C.3.3. Donner l'expression du gain statique G et la fréquence de coupure  $f_C$ .
- C.3.4. Quel est l'effet de la capacité parasite C<sub>P</sub> sur le montage.

## D. Conversion analogique numérique (ADC)

La figure 15 illustre le schéma synoptique général d'un ADC, Il se compose essentiellement d'un filtre anti-repliement, d'un échantillonneur, d'un quantificateur et d'un codeur. Le filtre antirepliement a été étudié dans la partie C.



## D.1. Etude de l'échantillonnage

L'échantillonnage est modélisé par le produit du signal à échantillonner x(t) avec une fonction peigne p(t), représentée par une suite d'impulsion de Dirac  $\delta$ .

$$p(t) = \sum_{n=-\infty}^{+\infty} \delta(t - nT_e) = \frac{1}{T_e} \sum_{n=-\infty}^{+\infty} e^{j2\pi n f_e t}$$

Où  $T_e = \frac{1}{f_c}$ , représente la période d'échantillonnage.

Notons par  $x_e(t)$  le signal échantillonné.

Nous rappelons la propriété de décalage fréquentiel :  $s(t)e^{j2\pi f_0t} \rightleftharpoons S(f-f_0)$ 

$$s(t)e^{j2\pi f_0t} \rightleftharpoons S(f-f_0)$$

- D.1.1. Donner l'expression analytique du signal échantillonné  $x_e(t)$ .
- D.1.2. Donner alors l'expression de la transformée de Fourrier  $X_{\rho}(f)$ .
- D.1.3. Représenter sur le document réponse D.1.3, le spectre de  $X_e(f)$ . ( $f_B$  représente la fréquence limite supérieure du spectre du signal x(t), tandis que  $f_e$  représente la fréquence d'échantillonnage).

Le filtre anti-repliement limite le signal d'entrée à la fréquence  $f_R = 20 Hz$ .

D.1.4. Quelle sera alors la fréquence d'échantillonnage minimale.

#### D.2. Quantificateur uniforme N bits

L'erreur de quantification d'un ADC peut être approximée par une forme d'onde en dents de scie ayant une amplitude crête à crête d'un pas de quantification (noté q).

Pour un quantificateur N bits et une tension de pleine échelle  $V_{FS}$ .

- D.2.1. Donner l'expression du pas de quantification q.
- D.2.2. Pour N = 16 bits et  $V_{FS} = 2V$ , Calculer la valeur de q.

L'erreur de quantification en fonction du temps est représentée dans la Figure 16.

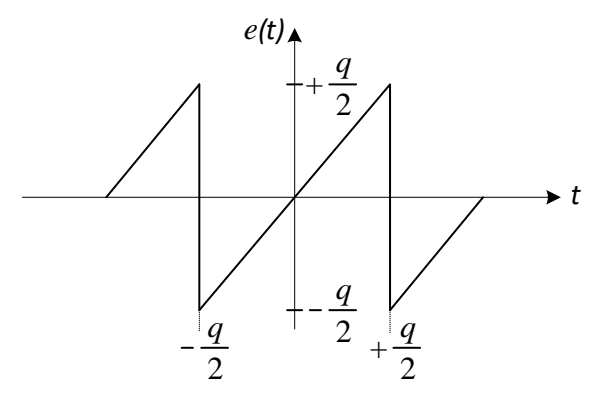


Figure 16

La puissance de bruit de quantification est donnée par la formule suivante :

$$\sigma^2 = \frac{1}{q} \int_{-\frac{q}{2}}^{\frac{q}{2}} e^2(t) dt$$

D.2.3. Montrer que  $\sigma^2 = \frac{q^2}{12}$ .

La puissance du bruit de quantification est répartie uniformément dans la plage de fréquence

 $\left[-\frac{f_e}{2}, +\frac{f_e}{2}\right]$ . Sa densité spectrale  $S_b(f) = \frac{q^2}{12f_e}$ 

D.2.4. Pour N = 16,  $V_{FS} = 2V$  et  $f_e = 40$ Hz, représenter la densité spectrale de puissance  $S_b(f)$ sur le document réponse D.2.4.

Par définition le rapport signal sur bruit de quantification s'écrit :

$$SNR_{dB} = 20 \times log \left( \frac{\text{Valeur efficace de l'entrée pleine échelle}}{\text{Valeur efficace du bruit de quantification}} \right)$$
 Considérons pour le calcul du SNR, un signal d'entrée sinusoïdal  $x(t) = \frac{v_{FS}}{2} \sin (\omega t)$ .

D.2.5. Montrer alors  $SNR_{dB} \approx 6,02N + 1,76$ .

## D.3. Etude de sur-échantillonnage

Le sur-échantillonnage consiste à échantillonner le signal d'entrée à une fréquence très supérieur à la fréquence de Nyquist ( $f_e = 2f_B$ ). Soit  $f_s$  la fréquence de sur-échantillonnage.

Le rapport OSR "Over Sampling Rate" est définie par :

$$OSR = \frac{f_S}{f_e} = \frac{f_S}{2f_B}$$

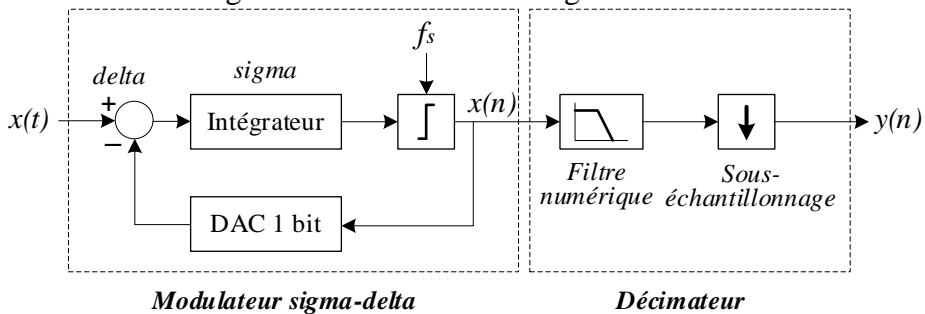
Parmi les avantages du sur-échantillonnage, est d'augmenter le rapport signal sur bruit d'une quantité de  $10 \times \log(OSR)$ .

D.3.1. Sur le document réponse D.3.1, représenter le spectre du signal échantillonné à la fréquence  $f_s$ .

D.3.2. Représenter sur le document réponse D.3.2 la densité spectrale de puissance de bruit de quantification, pour N = 16bits,  $V_{FS} = 2V$  et  $f_s = 20,48kHz$ .

## D.4. Etude du Convertisseur analogique numérique sigma-delta

Ce type d'ADC est utilisé dans les systèmes de mesure de précision ; il permet d'obtenir une très haute résolution de quantification (20 bits et plus). Il utilise un modulateur sigma-delta générant un signal numérique d'un "1" bit à très haute cadence (fréquence  $f_s$ ). Un ADC sigma-delta est constitué principalement d'un modulateur sigma-delta et d'un décimateur. Le schéma de principe du premier ordre d'un ADC sigma-delta est donné à la figure 17.



**Décimateur** 

Figure 17

Un modulateur sigma-delta du 1<sup>er</sup> ordre peut être modélisé par le schéma bloc de la figure 18. Le signal E(z) symbolise le bruit de quantification généré par le comparateur qui agit comme un quantificateur à deux niveaux (résolution d'un seul bit).

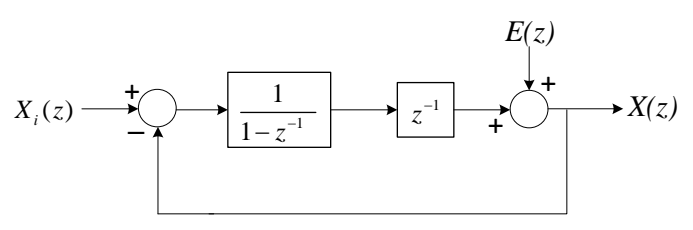


Figure 18

D.4.1. Exprimer la réponse du modulateur sous la forme  $X(z) = H(z)X_i(z) + H_a(z)E(z)$ .

Nous rappelons que : 
$$z = e^{pT_S} = e^{j\omega T_S} = e^{j\Omega}$$
 et  $e^{j\Omega_1} - e^{j\Omega_2} = 2j \times e^{j\left(\frac{\Omega_1 + \Omega_2}{2}\right)} \times sin\left(\frac{\Omega_1 - \Omega_2}{2}\right)$ 

D.4.2. Déterminer analytiquement la réponse fréquentielle  $H_a(e^{j\Omega})$ .

Notons 
$$H_q(e^{j\Omega}) = H_q(e^{j2\pi \frac{f}{f_s}})$$
 par  $H_q(f)$ .

D.4.3. En déduire le module  $|H_a(f)|$  en fonction de f.

Le modulateur sigma-delta du 2<sup>ème</sup> ordre peut être modélisé par le schéma bloc de la figure 19.

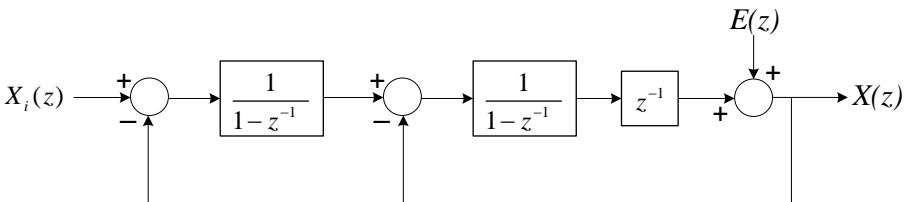


Figure 19

- D.4.4. Exprimer la réponse du modulateur sous la forme  $X(z) = H(z)X_i(z) + H_q(z)E(z)$ .
- D.4.5. Déterminer analytiquement la réponse fréquentielle  $H_q(f)$ .
- D.4.6. En déduire le module  $|H_a(f)|$  en fonction de f.

La densité spectrale de puissance du bruit de quantification est donnée par :

$$S_b(f) = S_e(f) \times |H_q(f)|^2$$
 avec  $S_e(f) = \frac{q^2}{6f_S}$ 

D.4.7. Pour N = 16bits,  $V_{FS} = 2V$  et  $f_s = 20,48$ kHz, exprimer  $S_b(f)$  en fonction de f.

D.4.8. Calculer les valeurs de 
$$S_b(f)$$
 pour  $f = f_B = 20$ Hz et  $f = \frac{f_s}{2} = 10$ , 24kHz.

D.4.9. Esquisser la courbe de  $S_h(f)$  sur le document réponse D.4.9.

D.4.10. Comparer les trois courbes de la densité spectrale de puissance de bruit de quantification  $(S_b(f))$  et Conclure.

#### D.5. Décimation

Le filtrage du bruit qui pourrait être replié dans la bande passante est l'objectif principal de l'étage de filtrage numérique. Son objectif secondaire est de prendre le flux de données 1 bit qui a un taux d'échantillonnage élevé et de le transformer en un flux de données N bits à un taux d'échantillonnage inférieur. Ce processus est connu sous le nom de décimation. Essentiellement, la décimation est à la fois une fonction de filtrage et de réduction de débit. La décimation est réalisée par la mise en série de deux filtres. Le premier est un filtre en peigne (ou CIC : cascaded integrator-comb-filter) avec une forte décimation. Le second est généralement un filtre RIF (filtre à réponse impulsionnelle finie). Nous limitons l'étude au filtre en peigne (Comb-Filter).

Le filtre en peigne effectue une moyenne glissante sur R échantillons suivi d'une décimation d'un facteur R.

La figure 20 illustre le schéma bloc du filtre en peigne.

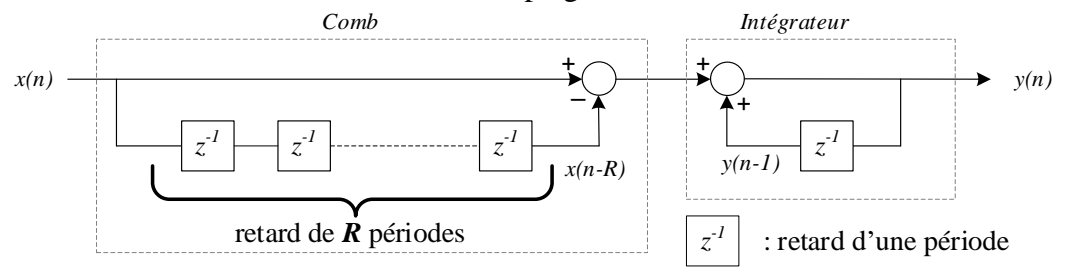
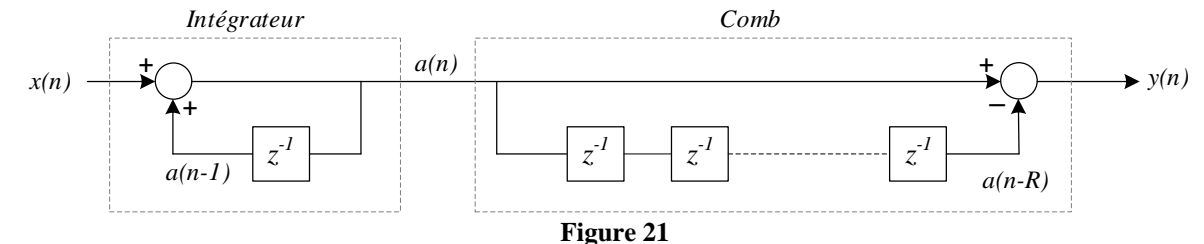


Figure 20

La section constituée de la ligne à retard et du soustracteur est appelée « Comb », la partie récursive est appelée « intégrateur ». Omettons pour le moment la division par **R** (calcul de moyenne).

- D.5.1. Montrer que y(n) = y(n-1) + x(n) x(n-R).
- D.5.2. Déduire la sortie Y(z) ainsi que sa fonction de transfert  $T(z) = \frac{Y(z)}{X(z)}$ .
- D.5.3. Montrer que c'est l'équivalent d'un filtre RIF d'ordre R. Exprimer alors la sortie y(n) sous la forme non récursive.
- D.5.4. Quel avantage peut-on tirer de l'implémentation d'un filtre en peigne?

Pour la décimation, le bloc intégrateur précède le Comb (Figure 21).



D.5.5. Montrer sans passer par la transformée en z, que les deux structures ont la même réponse y(n).

La décimation consiste à diviser la fréquence d'échantillonnage par **R** (sous-échantillonnage).

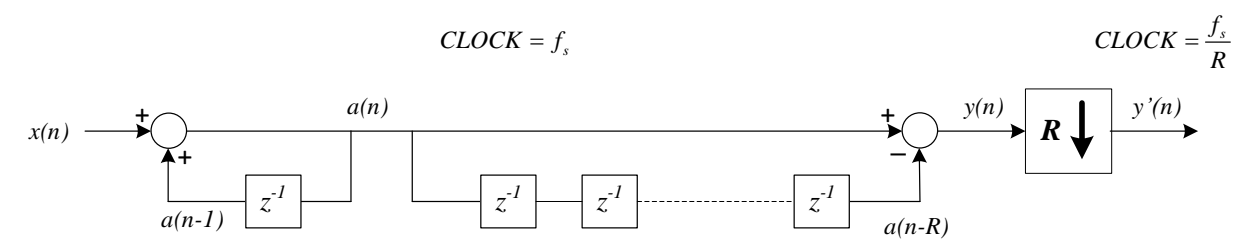


Figure 22

Le sous-échantillonneur à droite supprime (R-1) échantillons sur R, le débit de sortie y'(n), est 1/R du débit d'entrée x(n). Cette solution élimine  $\frac{R-1}{R}$  % des valeurs calculées. Pour remédier à cet inconvénient, déplaçons le rapport de décimation entre l'intégrateur et le Comb (Figure 23).

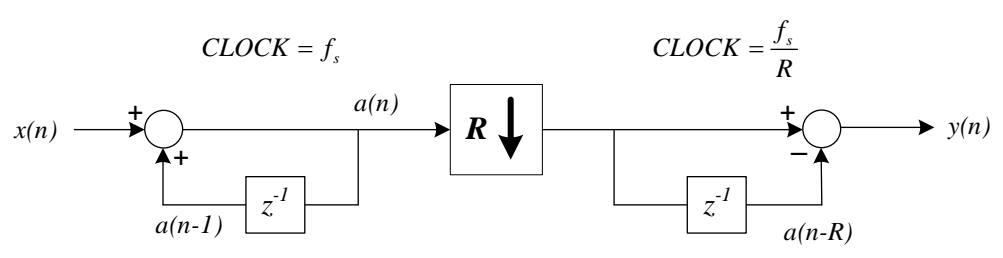


Figure 23

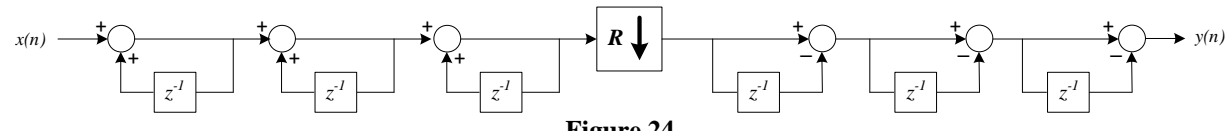
Avec cette structure assez économique, le bloc intégrateur est exécuté à chaque cycle d'horloge, tandis que le bloc Comb est exécuté après **R** cycles d'horloge.

D.5.6. Montrer que la structure de la figure 22 est équivalente à celle de la figure 23. Pour faciliter le développement, prener R = 4, calculer y(3) et y(7) pour les deux structures.

D.5.7. Rappeler sa fonction de transfert T(z) en introduisant le rapport de moyennage.

Dans la pratique, on utilise plusieurs filtres moyenneurs en cascade afin de réduire fortement la puissance du bruit de quantification aux fréquences supérieures à  $\frac{f_s}{R}$ .

La figure 24 illustre le filtre CIC de troisième ordre et ayant un rapport de décimation R = 16.



rigure 2

D.5.8. Donner sa fonction de transfert  $T_3(z) = \frac{Y(z)}{X(z)}$ .

D.5.9. Déterminer sa réponse fréquentielle  $T_3(f)$ .

D.5.10. Pour 
$$f_B = 20$$
Hz et  $f_s = 20,48$ kHz, calculer  $|T_3(f_B)|$ ,  $|T_3(\frac{f_s}{16})|$  et  $|T_3(\frac{\frac{3}{2}f_s}{16})|$ . Conclure.